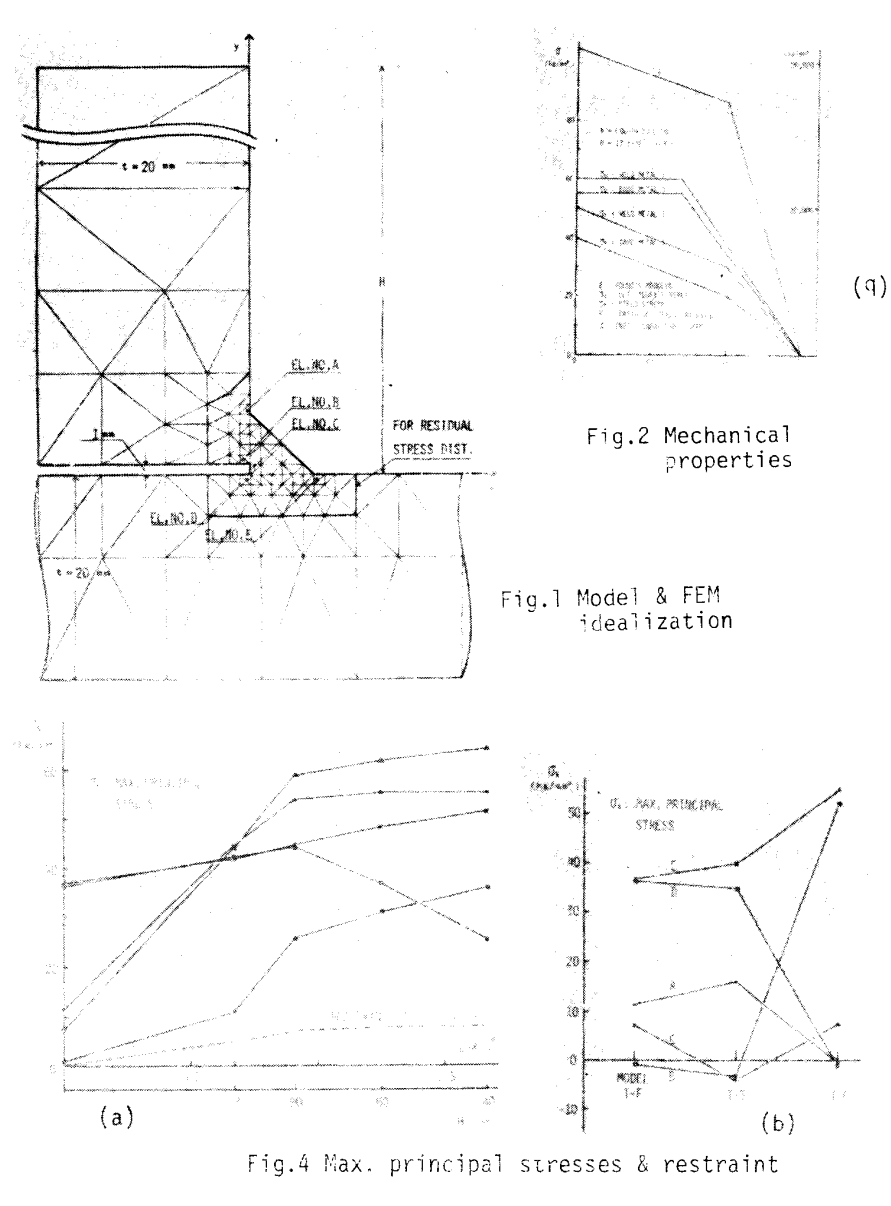
204 鋼材の熱弾塑性応力変形 (第9報) 一隅肉溶接の冷間割れに対する一考察―

大阪大学溶接工学研究所 上田幸雄 大阪大学大学院 福田敬二、中長啓治

溶接の冷間割れを収扱う上では、その継手形式を突合せと隅肉との2種類に大別する ことができる。この中で突合せ継手に関しては、継手の拘束度一拘束応力と割れとの関係 は一次元部材については非常に多くの研究成果が発表されほぼ確立されており、さらに溶 接の全遇程を通じて局部応力・ひずみの履歴も解析されている。ところで突合せ継手につい ては種々の割れの形態(ウェブのトウ、ルート、フランジのトウ、ルート、アンダービー ド、ヒール)がわずかの力学的条件の相異によって入り混って生じているようで、力学的 条件と割れの形態との関係に統一した説明がなされていない。 て、著者らは有限要素法による熱弾塑性解析法を適用し、溶接の全過程を通じて隅内部が 受ける力学的履歴を解析した。解析の対象は Fig. 1 に示すような下型継手で片側に1層隅 内密接を行なう。材料は50 k5/mi級の高張力鋼で、母材および溶着金属の温度に依存する 機械的性質をFig. 2に示す。溶接条件は入熱量 1,5000 5/cm, 溶接速度 150 m//kin.とした。解 析のための夢素分割はFig. 1 のようになっており、ルートキャップを1 mm とし、また、 要素の最小辺長を I mm とした。したが、て、応力・ひずみなどはこの要素の面積内の平均 値になっているほか、溶け込みの形状の相違による応力集 Model t 中は考慮していない。本報告では右の7種類の下継手に対 T-F して解析を行った。いすれの試験片もフランジの底辺(な T-90 T-60 60 =-t)で V=0 としている。 Fig. 3 は、試験片 T-F, T- T-40 40 u=v=0 at x=-t, y=H20 130 , T-S , T-O の残留応力を主応力であらわしたもので T-O 20 40 u=0 (web), at x=-t ある。回は応力の流れをよく表わしており、割れの発生は流れて直角方向に入るものと考 えられる。たとえば、 $F_{i,q}$ 、3(a)のMODELT-Fはウェブ は梅東から自由であるので、割れが生 じる場合は フランジ ゥ ルート、 またはトウ 部であるう。MODEL T-S では冷却過程での ウェブ の回転を止めたものであるが、それによって フランジ のトウ 部の応力は相当上昇している が、ルート部はむしる大きい圧縮を受けている。MODEL T-Oでは模方向の拘束が厳しいため 、応力はフランジのトウ部からウェブ り ルート 部 に流れている。他方、 MODELT-130 では、 上下方向の拘束があるため、応力は フランジ の ルート から ウェブ ルート それからトウ 部色 流れ、後二者は相当高い値となっている。 また フランジ の トウ 都にも高い引 張応力 が生じ ており、アンゲービードクラックにつながる可能性がある。これらをまとめたのが Fig. 4 (a) および(d)である。 Fig. 4(a) は、ウェブ の伸縮に対する拘束の程度によって、最終局部応 カがどのように変化するかを示している。 拘束度のない ウェブ が自由なMODEL T-F では、フ ランジ の トウ および ルート のいずれも、それ程差がない最大応力が生じており、 フランジ に割れ発生の可能性がある。 みち向り拘束度を増大させると、最大応力が ウェブ の ルート て トウ に生じるようになり、割れ発生予定点が明らかに ウェブ へ移動してくることを示し



ている。そして、応力値としてはルート 部が最大であります割れが生じ、治金的な要因と相まってウェブのトラ 部にも割れが起ることも考えられる。 Fig... 4(水)では、横方向(X方向)のウェブの拘束と局部応力を示して、外のからなる。 この場合の割れは、まず、フランジのトウ部を除いてでは、生じないて思われる。 ただし、MODEL T-O では、方のルート(B) は応力が相当高くなるようであり、下ありのサ2ビードでは、ここに割れが発生することがある。 以上、熱弾塑性解析結果をもとに下継手の

オービード海接割れ形態を力学の立場から考察した。

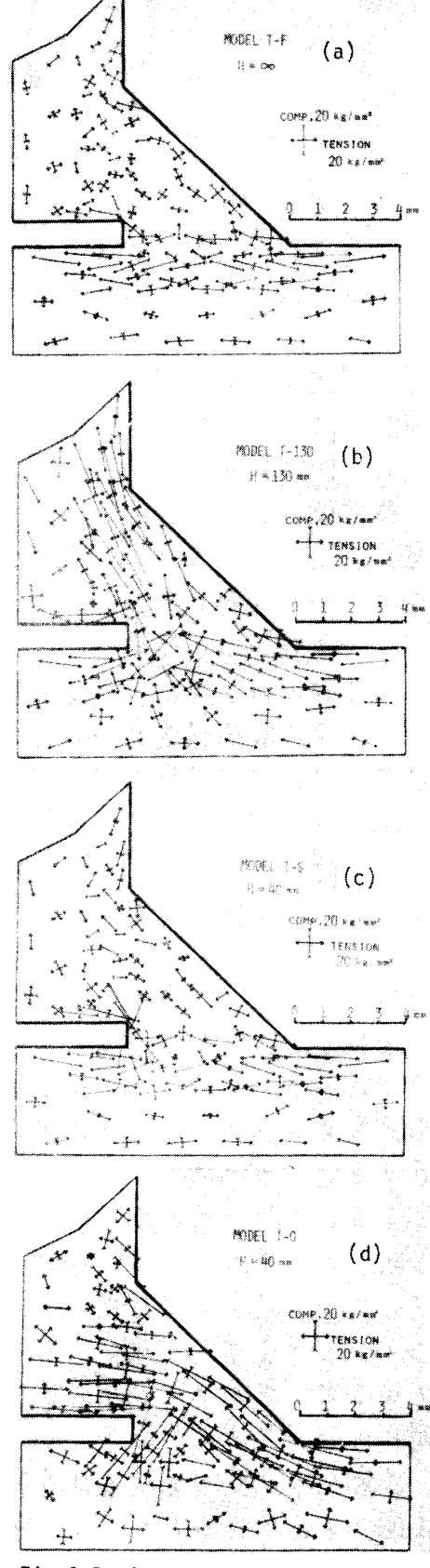


Fig.3 Residual principal stresses